

# Atlas

## Abhandlungen

### Königlich Preussischen geologischen Landesanstalt.

Neue Folge.  
Heft 10.

Berlin.

Dr. Carl von der Marck, Direktor der geologischen Landesanstalt,  
H. B. Neumann.

1880.

5839  
748  
4718

Library of



Princeton University.

**Atlas**  
zu den  
Abhandlungen  
der  
Königlich Preussischen  
geologischen Landesanstalt.

**Neue Folge.**

**Heft 16.**

BERLIN.

In Vertrieb bei der Simon Schropp'schen Hof-Landkartenhandlung.  
(J. H. Neumann.)

1895.



# Atlas

Von

neunzehn lithographirten Tafeln

zu der Abhandlung:

## Das Obere Mitteldevon

(Schichten mit *Stringocephalus Burtini* und *Maeneceras terebratum*)

im

Rheinischen Gebirge.

---

Von

**E. Holzapfel.**

---

Herausgegeben

von der

Königlich Preussischen geologischen Landesanstalt.

BERLIN.

In Vertrieb bei der Simon Schropp'schen Hof-Landkarten-Verlagung  
(J. R. Neumann.)

1895.

(RECAP)

85839

749

No. 16, Alias

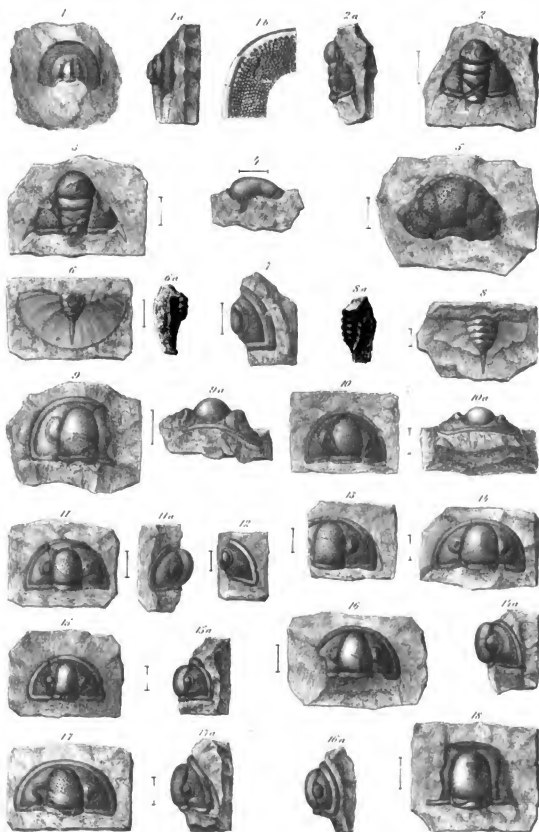


# Tafel L

Fig. 1.	<i>Harpos socialis</i> n. sp. . . . .	S. 45
	Kopf ohne Hörner. Vgl. Taf. 2 Fig. 1 und 3.	
Fig. 2—4.	<i>Cheirurus Sternbergi</i> BOUXU, mut. <i>myops</i> ROEM. . . . .	S. 22
	2—3 Köpfe ohne freie Wangen. 4 Hypostom. Vgl. Taf. 2 Fig. 15, 16, Taf. 3 Fig. 1—10, Taf. 12 Fig. 15.	
Fig. 5.	<i>Lichas Deckeni</i> n. sp. . . . .	S. 30
	Kopf ohne freie Wangen. Vgl. Taf. 2 Fig. 17, 18, 20.	
Fig. 6.	<i>Proetus crassirhachis</i> ROEM. . . . .	S. 35
	Pygidium. Vgl. Taf. 2 Fig. 22.	
Fig. 7.	<i>Proetus crassimargo</i> ROEM. . . . .	S. 36
	Freie Wange.	
Fig. 8.	<i>Proetus crassirhachis</i> ROEM. . . . .	S. 35
	Unvollständiges Pygidium.	
Fig. 9—18.	<i>Proetus crassimargo</i> ROEM. . . . .	S. 36
	Köpfe und freie Wangen. Dieselben zeigen die Veränderlichkeit der Art. Vgl. Taf. 2 Fig. 23.	

Sämmtliche Originale stammen aus den graugrünen Kalken des Martenberger Tiefbaues.

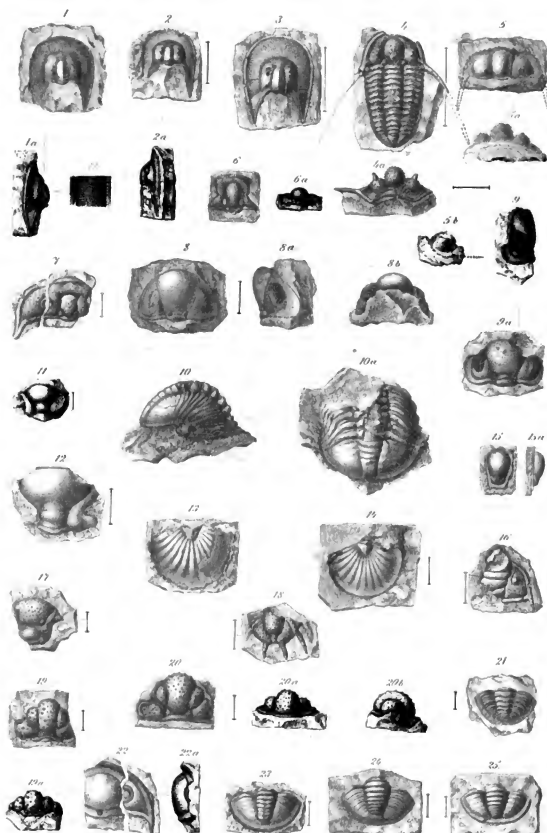






# Tafel II.

Fig. 1.	<i>Harpes socialis</i> n. sp. . . . .	S. 45
	Vollständiger Kopfaus dem Eisenstein des Martenberges. Sammlung MÜLLER.	
Fig. 2.	<i>Harpes gracilis</i> SANDB. . . . .	S. 46
	Nahezu vollständiger Kopf aus den Intumescens-Kalken des Martenberges. Zum Vergleich mit <i>H. socialis</i> .	
Fig. 3.	<i>Harpes socialis</i> n. sp. . . . .	S. 45
	Vollständiger, etwas verdrückter Kopfaus den grauen Kalken des Martenberges. Vgl. Taf. I Fig. 1.	
Fig. 4.	<i>Cyphaopsis ceratophthalmus</i> GOLDF. . . . .	S. 43
	Fast vollständiges Exemplar aus den oberen Calceola-Schichten von Gees bei Gerolstein. Zum Vergleich mit der folgenden Art.	
Fig. 5.	<i>Cyphaopsis cerberus</i> BARR. . . . .	S. 42
	Kopf ohne Hörner aus den Eisensteinen des Martenberges.	
Fig. 6.	<i>Cyphaopsis conoza</i> BARR. . . . .	S. 40
	Mittelkopf aus den Eisensteinen des Martenberges. Sammlung MÜLLER.	
Fig. 7.	<i>Arctosinus Kayseri</i> n. sp. . . . .	S. 43
	Mittelkopf und freie Wange aus den Eisensteinen der Grube Hubertus bei Leitmar.	
Fig. 8—10.	<i>Phacops Koeneni</i> n. sp. . . . .	S. 16
	Fig. 8 fast vollständiger Kopf aus den grauen Kalken, Fig. 9, 10 aus den Eisensteinen des Martenberges. 9, 10 Göttinger Sammlung.	
Fig. 11—14.	<i>Bronteus Noviki</i> n. sp. . . . .	S. 10
	Aus den Eisensteinen des Martenberges. Göttinger Sammlung.	
Fig. 15.	<i>Cheirurus Sternbergi</i> BOEKH, mut. <i>myops</i> ROEM. . . . .	S. 22
	Hypostom aus den grauen Kalken des Martenberges.	
Fig. 16.	<i>Cheirurus Sternbergi</i> BOEKH, mut. <i>myops</i> ROEM. . . . .	S. 22
	Theile des Mittelkopfes mit freier Wange aus gelben Kalken der Grube Charlottenzug bei Bredelar. Göttinger Sammlung. Vgl. auch Taf. I Fig. 2—4, Taf. 3 Fig. 1—10, Taf. 12 Fig. 15.	
Fig. 17, 18.	<i>Lichas Decheni</i> n. sp. . . . .	S. 30
	Hypostom und Pygidium aus den grauen Kalken des Martenberges.	
Fig. 19.	<i>Lichas granulatus</i> ROEM. sp. . . . .	S. 28
	Eisenschüssige Kalke der Grube Enkeberg. Sammlung des naturhistorischen Vereins in Bonn.	
Fig. 20.	<i>Lichas Decheni</i> n. sp. . . . .	S. 30
	Graue Kalke des Martenberges. Vgl. Taf. I Fig. 5.	
Fig. 21.	<i>Cyphaopsis cerberus</i> BARR.? an <i>C. conoza</i> BARR.? . . . .	S. 42
	Pygidium aus den grauen Kalken des Martenberges. Die Zugehörigkeit zu einer dieser Arten ist unsicher.	
Fig. 22.	<i>Proetus crassirhachis</i> ROEM. . . . .	S. 35
	Graue Kalke des Martenberges. Vgl. Taf. I Fig. 6, 8.	
Fig. 23.	<i>Proetus crassimargo</i> ROEM. . . . .	S. 36
	Eisenstein des Martenberges. Die Axe ist als Steinkern erhalten.	
Fig. 24.	<i>Proetus Cuvieri</i> STEININGER . . . . .	S. 37
	Pygidium aus oberen Calceola-Schichten von Gees bei Gerolstein. Zum Vergleich mit <i>Pr. crassimargo</i> .	
Fig. 25.	<i>Proetus crassimargo</i> ROEM. . . . .	S. 36
	Eisenstein des Martenberges. Sammlung des naturhistorischen Vereins in Bonn. Vgl. Taf. I Fig. 7, 9—18.	

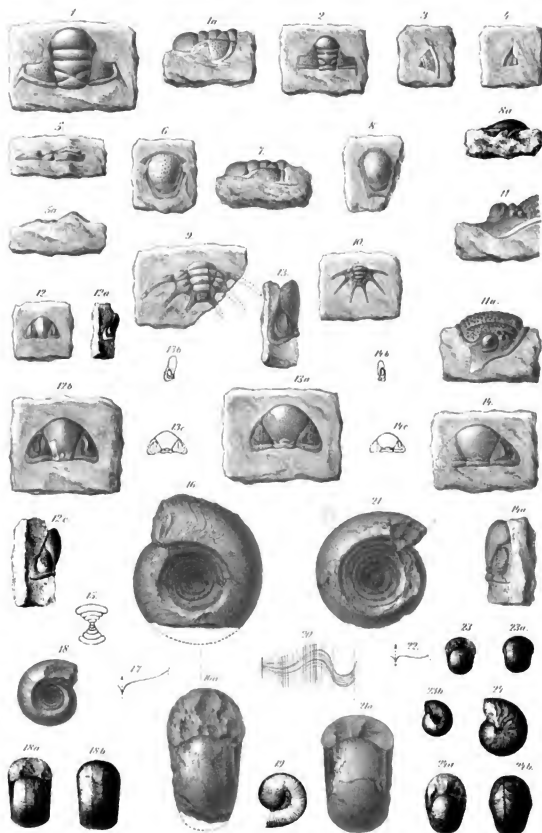




### Tafel III.

- Fig. 1—10. *Cheirurus Sternbergi* Borkn, mut. *myops* Roem. . . . . S. 22  
Eisenschüssiger Kalk der Grube Martha bei Albshausen.  
Fig. 2 Exemplar mit unterbrochener Mittelfurche der Glabella. Fig. 6 u. 7  
Hypostom und Pygidium der breiten Form (Weibchen), 8 u. 10 der  
schmalen Form (Männchen). Vgl. Taf. I Fig. 2—4, Taf. 12 Fig. 15.
- Fig. 11. *Lichas aranea* n. sp. . . . . S. 32  
Vorder- und Seitenansicht des Auges. Vgl. Taf. 13 Fig. 1—4, 16.
- Fig. 12. *Phacops hyla* n. sp. . . . . S. 21  
Grube Martha bei Albshausen.
- Fig. 13. *Phacops botracheus* Wünn. . . . . S. 20  
Grube Martha bei Albshausen.
- Fig. 14. *Phacops latissimus* n. sp. . . . . S. 21  
Grube Martha bei Albshausen.
- Fig. 15—20. *Anarcestes Karpinskyi* n. sp. . . . . S. 77  
Schwarze Cephalopodenkalke der Ense bei Wildungen. Sammlung der  
geologischen Landesanstalt, Berlin. Vgl. Taf. 5 Fig. 5.
- Fig. 21. *Anarcestes lateripatus* Bryn. . . . . S. 73  
Schwarze Cephalopodenkalke der Ense bei Wildungen. Sammlung der  
geologischen Landesanstalt.
- Fig. 22—24. *Anarcestes Denckmanni* n. sp. . . . . S. 72  
Schwarze Cephalopodenkalke der Ense. Sammlung der geologischen  
Landesanstalt.

Die Formen Fig. 1—14 stammen aus oberen, 15—24 aus unteren Stringocephalen-Schichten.







# Tafel IV.

Fig. 1—3.	<i>Tornoceras concolutum</i> n. sp. . . . .	S. 88
	Ense bei Wildungen.	
Fig. 4, 5.	<i>Tornoceras psittacinum</i> WHIDS. sp. . . . .	S. 101
	Graue Massenkalk des Fretterthales.	
Fig. 6.	<i>Tornoceras circumflexiferum</i> SANDS. sp. . . . .	S. 85
	Größtes Exemplar aus den schwarzen Kalken der Ense.	
Fig. 7.	<i>Tornoceras psittacinum</i> WHIDS. sp. . . . .	S. 101
	Größtes Exemplar aus den schwarzen Kalken der Ense.	
Fig. 8, 9.	<i>Tornoceras simplex</i> v. B. mut. <i>magosellaris</i> . . . . .	S. 97
	Schwarze Kalk der Ense.	
Fig. 10.	<i>Tornoceras angulato-striatum</i> KAYS. . . . .	S. 94
	Schwarze Kalk der Ense.	
Fig. 11, 12.	<i>Tornoceras weesfalicum</i> n. sp. . . . .	S. 104
	Graue Massenkalk des Fretterthales.	
Fig. 13.	<i>Agoniatites? discoides</i> WALDSCHN. sp. . . . .	S. 67
	Plattig-knollige Stringocephalenkalk der Ense.	
Fig. 14.	<i>Maenoceras terebratum</i> SANDS. . . . .	S. 107
	Schwarze Kalk der Ense.	
Fig. 15.	<i>Maenoceras Decheni</i> KAYS. . . . .	S. 114
	Grube Martha bei Albsthausen. 15c Innenlobus.	
Fig. 16.	<i>Maenoceras Decheni</i> KAYS. . . . .	S. 114
	Lobelinie eines Exemplares von Grube Juno bei Nauborn.	
Fig. 17.	<i>Maenoceras excavatum</i> PHILL. sp. . . . .	S. 112
	Junges Exemplar aus den schwarzen Kalken der Ense.	
Fig. 18.	<i>Maenoceras terebratum</i> SANDS. . . . .	S. 107
	Schwarze Kalk der Ense bei Wildungen.	
Fig. 19.	<i>Kokenia obliquecostata</i> nov. gen. nov. sp. . . . .	S. 159
	Schwarze Kalk der Ense.	
Fig. 20, 21.	<i>Orthoceras angustum</i> n. sp. . . . .	S. 152
	Fig. 20 aus den Massenkalken des Fretterthales, Fig. 21 aus den schwarzen Kalken der Ense.	

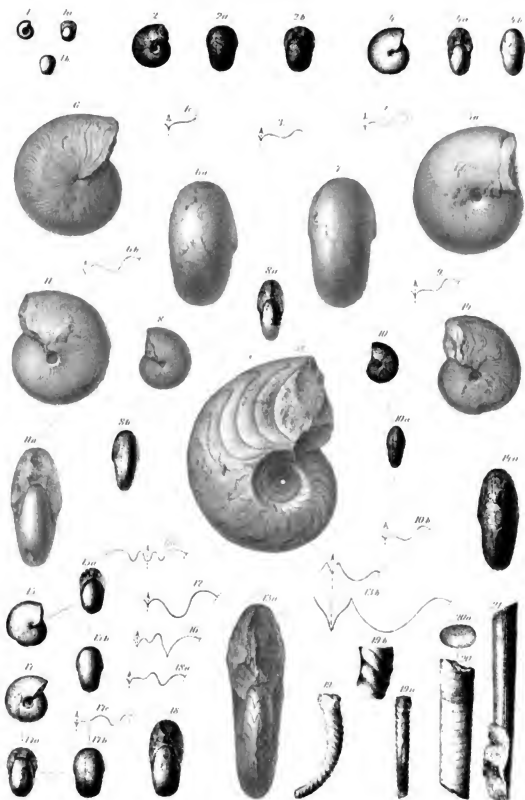
Die Originale zu den Fig. 1—3, 6—7, 10, 13, 14, 17—19, 21 befinden sich in der Sammlung der geologischen Landesanstalt.

1—3, 6—10, 14, 17—19 und 21 stammen aus unteren, die übrigen aus oberen Stringocephalen-Schichten.

# E.Holzapfel. Die Fauna der Schichten mit *Maeneceras terobratum* Sandh

Abhandl. d. Kgl. Preuss. geol. Landesanstalt. Neue Folge. Heft XVI

Taf. IV





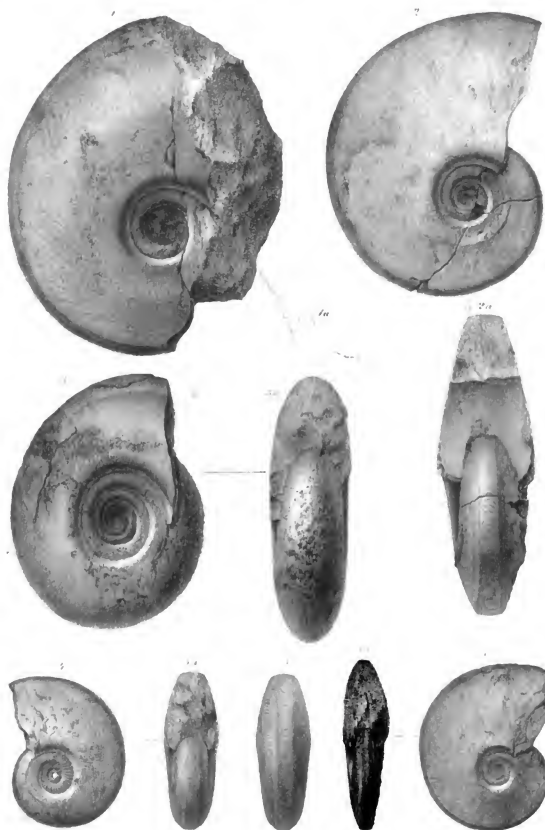
# Tafel V.

Fig. 1.	<i>Agoniatites inconstans</i> PHILL. var. <i>obliquus</i> WHIDB.	S. 62
Fig. 2.	"      "      " <i>expansus</i> VAN.	S. 59
	Mittelgrosses Individuum. Vgl. Taf. 6 Fig. 1, 3, 5, Taf. 7 Fig. 15.	
Fig. 3.	<i>Anorcestes Korpinskyi</i> n. sp.	S. 77
Fig. 4.	<i>Agoniatites inconstans</i> PHILL. var. <i>expansus</i> VAN.	S. 59
Fig. 5.	"      "      " <i>obliquus</i> WHIDB.	S. 62
	Vgl. Taf. 7 Fig. 14, Taf. 8 Fig. 4.	

Das Original von Fig. 2 befindet sich in der Sammlung des Herrn MÖLLER in Adorf. Sämmtliche Stücke stammen aus dem Eisenstein der oberen Stringocephalen-Schichten des Martenberges.

# E Holzapfel. Die Fauna der Schichten mit *Maeneceras terebraum*. Sandb.

Abhandl. d. Königl. Preuss. geol. Landesanstalt. Neue Folge. Bd. III. W.



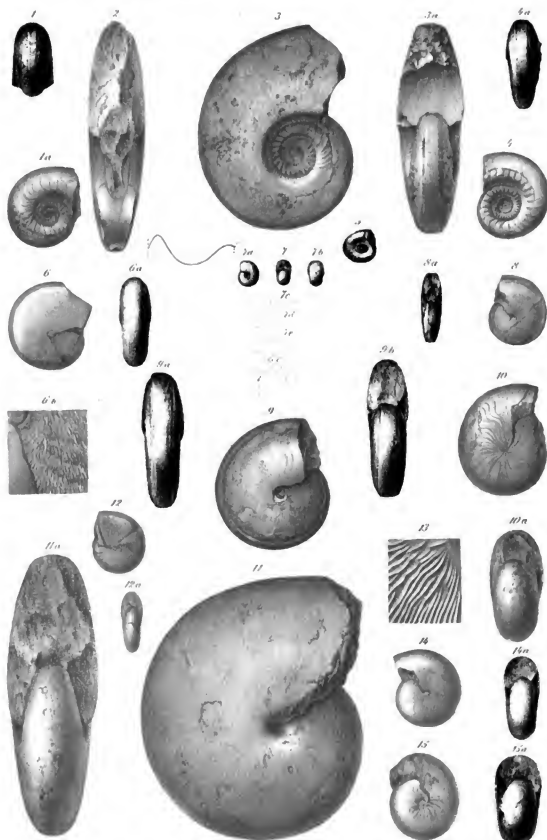
Vergr. 10:1

# Tafel VI.

Fig. 1. <i>Agoniatites inconstans</i> PHILL. var. <i>expansus</i> VAN. . . . .	S. 59
Jugendliches Exemplar.	
Fig. 2. <i>Agoniatites inconstans</i> var. <i>costulatus</i> D'ARCH.-VERN. . . . .	S. 62
Vgl. Taf. 8 Fig. 5.	
Fig. 3. <i>Agoniatites inconstans</i> var. <i>expansus</i> VAN. . . . .	S. 59
Fig. 4. " " " <i>euryomphalus</i> n. v. . . . .	S. 65
Jugendliches, noch ganz evolutes Exemplar.	
Fig. 5. <i>Agoniatites inconstans</i> var. <i>expansus</i> VAN. . . . .	S. 59
Junges, aus drei Umgängen bestehendes Exemplar mit Anfangskammer.	
Vgl. Taf. 5 Fig. 2, 4, Taf. 7 Fig. 15.	
Fig. 6. <i>Maeneceras terbratum</i> SANDB. . . . .	S. 107
Runzelschicht.	
Fig. 7. <i>Maeneceras terbratum</i> SANDB. . . . .	S. 107
Entwicklung der Lobenlinie.	
Fig. 8. <i>Maeneceras tenue</i> n. sp. . . . .	S. 111
Fig. 9. " <i>terbratum</i> SANDB. . . . .	S. 107
Fig. 10. <i>Anarcestes cancellatus</i> D'ARCH.-VERN. . . . .	S. 69
Exemplar mit verhältnissmässig gewölbten Seiten.	
Fig. 11. <i>Tornoceras simplex</i> v. BUCH mut. <i>typus</i> . . . . .	S. 98
Grösstes Exemplar vom Martenberge.	
Fig. 12. <i>Tornoceras cinctum</i> KEYS. sp. . . . .	S. 90
Schlecht erhaltenes Stück. Vgl. Taf. 8 Fig. 8.	
Fig. 13. <i>Anarcestes cancellatus</i> D'ARCH.-VERN. . . . .	S. 69
Runzelschicht, stark vergrössert.	
Fig. 14. <i>Anarcestes cancellatus</i> D'ARCH.-VERN. . . . .	S. 69
Dünnes Exemplar mit flachen Seitendflächen.	
Fig. 15. <i>Anarcestes nuciformis</i> WHIDB. . . . .	S. 70

Sammtliche Originale, mit Ausnahme von Fig. 13, 14, welche von Grube Hubertus stammen, sind aus dem Eisenstein des Martenberges.

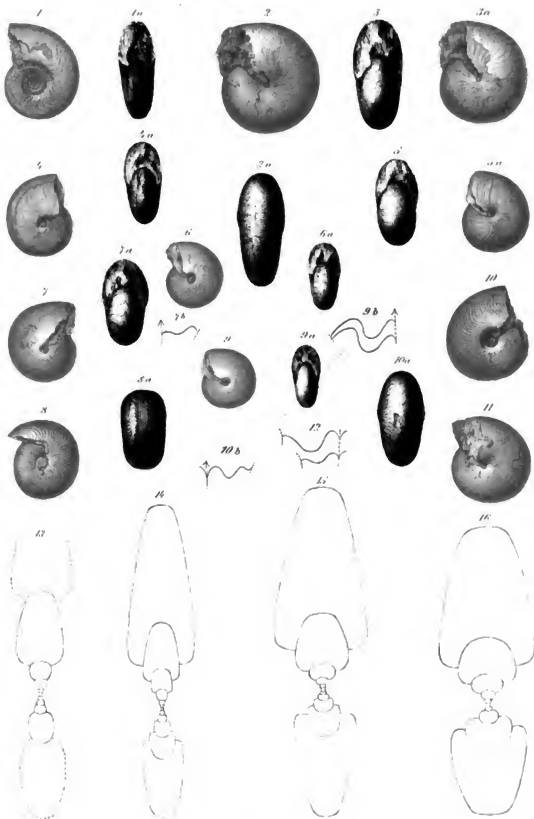
Die Originale zu Fig. 3, 8 und 9 befinden sich im Göttinger Museum, zu Fig. 10 in der Sammlung des Herrn MÜLLER in Adorf.



# Tafel VII.

- Fig. 1. *Agoniatites inconstans* PHILL. var. *fulgurialis* WHIDB. . . . . S. 64  
Enkeberg bei Behringhausen. Sammlung des naturhistorischen Vereins in Bonn.
- Fig. 2. *Anarcestes rotella* n. sp. . . . . S. 70  
Dünnes Exemplar aus den grauen Kalken des Martenberges.
- Fig. 3. *Anarcestes rotella* n. sp. . . . . S. 70  
Dickes Exemplar aus den Eisensteinen des Martenberges.
- Fig. 4. *Tornoceras cinctum* KEYSERL. . . . . S. 90  
Martenberg.
- Fig. 5. *Anarcestes rotella* n. sp. . . . . S. 70  
Eisenstein des Martenberges.
- Fig. 6. *Tornoceras psittacinum* WHIDB. . . . . S. 101  
Eisenstein des Martenberges.
- Fig. 7. *Tornoceras circumflexiferum* SANDB. sp. . . . . S. 85  
Schwarze Kalke der Ense bei Wildungen.
- Fig. 8. ?*Anarcestes* sp. . . . . S. 73  
Graue Kalke des Martenberges.
- Fig. 9. *Tornoceras simplex* v. BOCH sp. mut. *typus* SANDB. . . . . S. 98  
Eisenstein der Grube Hubertus bei Leitmar.
- Fig. 10. *Tornoceras Clarkei* n. sp. . . . . S. 89  
Eisenstein des Martenberges. Göttinger Sammlung.
- Fig. 11. *Anarcestes rotella* n. sp. . . . . S. 70  
Eisenstein des Martenberges. Sammlung MÖLLER.
- Fig. 12. *Tornoceras* sp.  
Lobelinie eines Exemplars vom Martenberge, das äusserlich dem *T. simplex*  
v. BOCH gleicht.
- Fig. 13. *Agoniatites Dannenbergi* BEYR. . . . . S. 66  
Querschnitt, entworfen nach einem Gypsabguss des Originals BEYRICH in der  
Sammlung des naturhistorischen Vereins in Bonn.
- Fig. 14. Querschnitt von *Agoniatites inconstans* PHILL. var. *obliquus* WHIDB. . . . . S. 62  
Exemplar von mittlerer Dicke. Vgl. Taf. 5 Fig. 1, 5, Taf. 8 Fig. 4.
- Fig. 15. Querschnitt von *Agoniatites inconstans* PHILL. var. *expansus* VAN. . . . . S. 59  
Vgl. Taf. 5 Fig. 2, 4, Taf. 6 Fig. 1, 3, 5.
- Fig. 16. Querschnitt von *Agoniatites inconstans* PHILL. var. *crassus* . . . . . S. 64





W. Pütz del.

Druck v. F. Kaplanow, Berlin



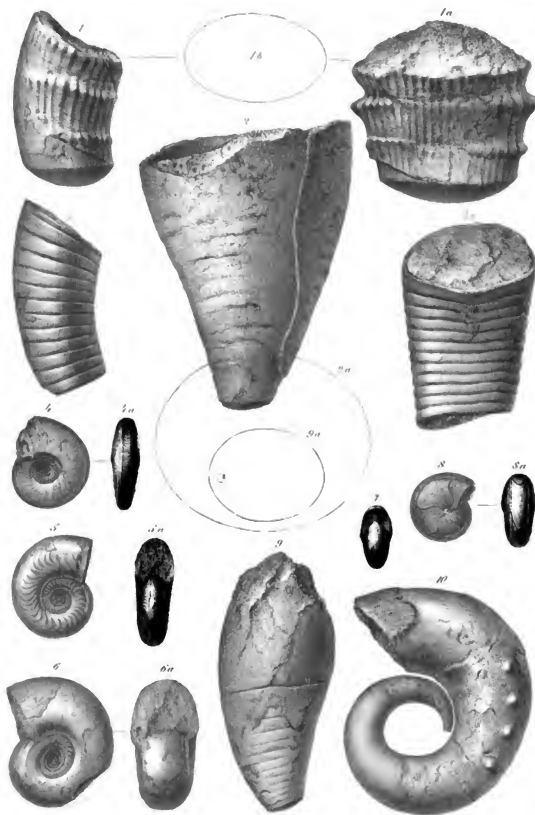
# Tafel VIII.

- Fig. 1. *Kophinoceras acutecostatum* SANDR. . . . . S. 129  
Bruchstück eines grossen Stückes vom Martenberge.
- Fig. 2. *Gomphoceras Verneuli* nov. nom. . . . . S. 143  
Grosses Exemplar ohne Wohnkammer vom Martenberge.
- Fig. 3. *Kophinoceras acutecostatum* SANDR. . . . . S. 129  
Steinkern eines mittleren Exemplars vom Martenberge. Vgl. Taf. 18 Fig. 21.
- Fig. 4. *Agoniatites inconstans* PHILL. var. *obliquus* WHIDB. . . . . S. 62  
Kleines, sehr dünnes Stück vom Martenberge. Vgl. Taf. 5 Fig. 1, 5, Taf. 7 Fig. 14.
- Fig. 5. *Agoniatites inconstans* PHILL. var. *costulatus* D'ARCHEL-VERN. . . . . S. 63  
Kleines, typisches Exemplar vom Grottenberge. Sammlung des naturhistorischen Vereins in Bonn. Vgl. Taf. 6 Fig. 2.
- Fig. 6. *Agoniatites inconstans* PHILL. var. *crassus* . . . . . S. 64  
Enkeberg. Sammlung des naturhistorischen Vereins in Bonn.
- Fig. 7. *Tornoceras? brilonense* KAYS. . . . . S. 102  
Ansicht gegen eine Kammerwand, um den Internsattel zu zeigen. Enkeberg.  
Sammlung des naturhistorischen Vereins in Bonn.
- Fig. 8. *Tornoceras cinctum* KAYSERL. . . . . S. 90  
Grottenberg bei Behringhausen. Sammlung der geologischen Landesanstalt.
- Fig. 9. *Potrioceras subaenium* n. sp. . . . . S. 146  
Martenberg.
- Fig. 10. *Sphyracoceras Vicaryi* WHIDB. . . . . S. 141  
Grottenberg bei Behringhausen. Sammlung des naturhistorischen Vereins  
in Bonn.

E. Holzapfel. Die Fauna der Schichten mit *Maeneceras terebratum* Sandb.

Abhandl. d. Kgl. Preuss. geol. Landesanstalt. Neue Folge, Heft XVI

Taf. VII

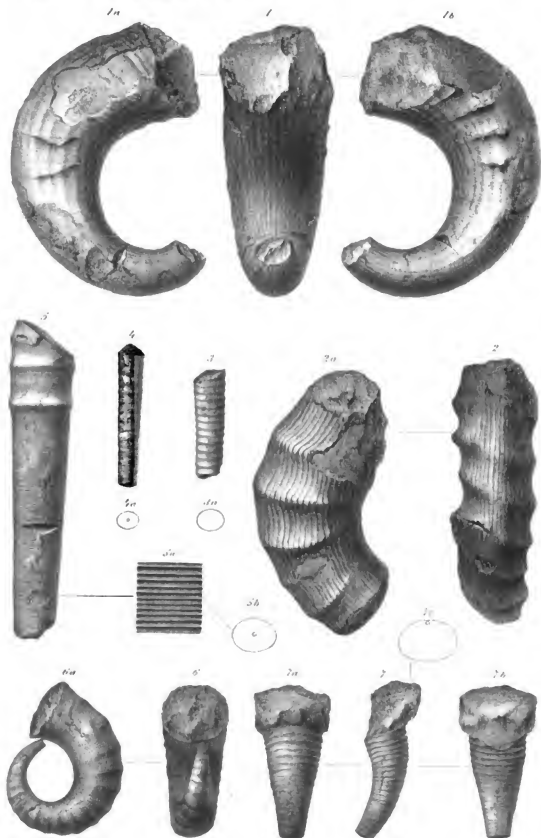


W. Platz del.

Druck v. F. Knappe, Berlin.

# Tafel IX.

- Fig. 1. *Kophinoceras Mülleri* n. sp. . . . . S. 132  
Eisenstein des Martenberges. Sammlung MÖLLER.
- Fig. 2. *Sphyracoceras Whidbornei* n. sp. . . . . S. 141  
Eisenstein des Martenberges.
- Fig. 3, 4. *Orthoceras opinum* BARR. . . . . S. 158  
Graue Kalke des Martenberges.
- Fig. 5. *Orthoceras biannulatum* n. sp. . . . . S. 151  
Eisenstein des Martenberges.
- Fig. 6. *Sphyracoceras cancellatum* F. ROEM. . . . . S. 140  
Originalstück F. ROEMER's zu *Cyrtoceras cancellatus* vom Grottenberge bei  
Behringhausen. Sammlung des naturhistorischen Vereins in Bonn.
- Fig. 7. *Kophinoceras quindecimale* PHILL. . . . . S. 134  
Eisenstein des Martenberges. Sammlung MÖLLER. Vgl. Taf. 14 Fig. 4.



**Tafel X.**

*Cranoceras alatum* v. sp. . . . . S. 137

Grosses Exemplar mit Mündung vom Martenberge bei Adorf. Fig. 1a und b in halber  
Grösse. Sammlung Meuser.



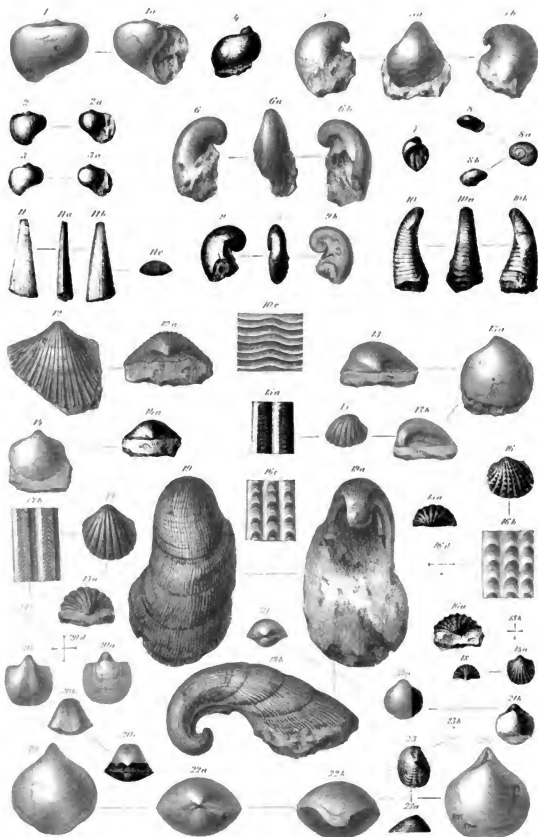




# Tafel XL

Fig. 1.	<i>Naticopsis Kayseri</i> n. sp. . . . .	S. 187
	Eisenstein des Martenberges.	
Fig. 2, 3.	<i>Naticopsis Kayseri</i> n. sp. . . . .	S. 187
	Eisenschüssige Kalke des Enkeberges.	
Fig. 4.	<i>Platyceras (Strophostylus) Eberti</i> n. sp. . . . .	S. 180
	Enkeberg.	
Fig. 5, 6.	<i>Platyceras compressum</i> ROEM. . . . .	S. 176
	Graue Kalke des Martenberges.	
Fig. 7.	<i>Platyceras (Strophostylus) Eberti</i> n. sp. . . . .	S. 180
	Enkeberg.	
Fig. 8.	<i>Rotella cf. helicinaeformis</i> v. SCHLÖTH.	
	Graue Kalke des Martenberges.	
Fig. 9.	<i>Platyceras compressum</i> ROEM. . . . .	S. 176
	Stark spiral gerollte Form vom Martenberge. Vgl. Taf. 14 Fig. 8—11, Taf. 15 Fig. 1—3.	
Fig. 10.	<i>Pollicina annulata</i> n. sp. . . . .	S. 182
	Graue Kalke des Martenberges.	
Fig. 11.	<i>Hyolites striolatus</i> n. sp. . . . .	S. 163
	Martenberg bei Adorf, graue Kalke.	
Fig. 12.	<i>Cardiola Beushauseni</i> n. sp. . . . .	S. 227
	Eisenstein des Martenberges. Vgl. auch Taf. 12 Fig. 17, 18, Taf. 16 Fig. 10.	
Fig. 13, 14.	<i>Cardiomorpha ferruginea</i> BEUSH. . . . .	S. 226
	Graue Kalke des Martenberges.	
Fig. 15.	<i>Cardiola (Buchiola) retrostriata</i> v. BOCH. . . . .	S. 229
	Oberdevonische Goniatitenkalke vom Martenberge.	
Fig. 16.	<i>Cardiola (Buchiola) ferruginea</i> n. sp. . . . .	S. 229
	Mitteldevonische Kalke des Martenberges.	
Fig. 17.	<i>Cardiola (Buchiola) sagittaria</i> n. sp. . . . .	S. 230
	Martenberg, graue Kalke.	
Fig. 18.	<i>Cardiola (Buchiola) misera</i> n. sp. . . . .	S. 230
	Martenberg, graue Kalke.	
Fig. 19.	<i>Uncites gryphus</i> DEFR. . . . .	S. 254
	Unregelmässig gewachsenes Exemplar aus dem Eisenstein des Martenberges.	
Fig. 20.	<i>Spirifer indatus</i> SCHNER var.? . . . .	S. 253
	Graue Kalke des Martenberges. Vgl. auch Taf. 17 Fig. 6.	
Fig. 21.	<i>Pentamerus brittonensis</i> KAYS. . . . .	S. 290
	Eisenstein des Martenberges.	
Fig. 22.	<i>Chascothyris Deuliquet</i> n. sp. . . . .	S. 238
	Eisenstein des Martenberges.	
Fig. 23.	<i>Diacina undulata</i> n. sp. . . . .	S. 298
	Enkeberg.	

Die Originale zu den Fig. 2—4, 7 und 23 befinden sich in der Sammlung des naturhistorischen Vereins in Bonn (Sammlung v. DECHER), zu Fig. 22 in der Sammlung MÖLLER.



# Tafel XII.

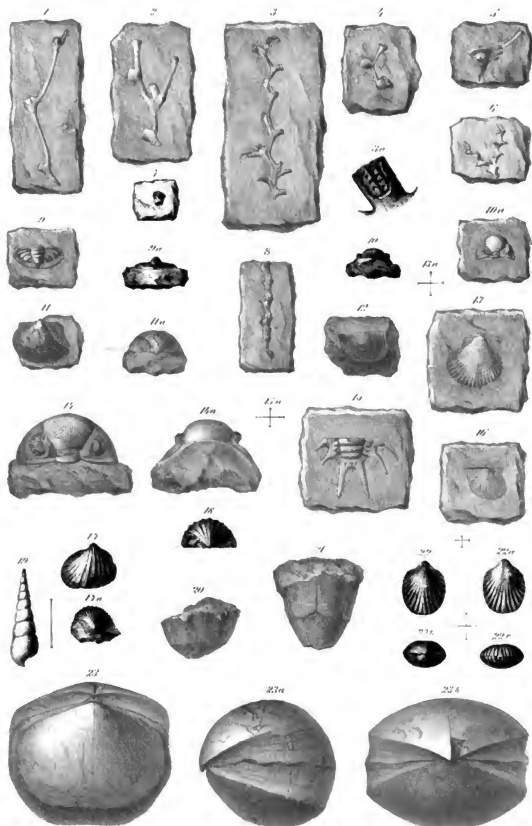
Fig. 1, 2, 4, 5, 7.	<i>Cladochonus Schlöteri</i> n. sp. . . . .	S. 305
	Graue Kalke des Martenberges.	
Fig. 3, 6, 8.	<i>Cladochonus alternans</i> ROEM. . . . .	S. 304
	Graue Kalke des Martenberges.	
Fig. 9.	<i>Proetus quadratus</i> MAUR. . . . .	S. 35
	Pygidium von Grube Juno bei Nauborn.	
Fig. 10.	<i>Phacops breviceps</i> BARR. . . . .	S. 18
	Eisenstein des Büchenberges bei Elbingerode.	
Fig. 11.	<i>Cypricardinia Junonia</i> n. sp. . . . .	S. 376
	Grube Juno bei Nauborn.	
Fig. 12.	<i>Strophosia membranacea</i> PHILL. . . . .	S. 297
	Grube Juno bei Nauborn.	
Fig. 13.	<i>Anculopecten Oceani</i> GOLDF. . . . .	S. 213
	Grube Juno bei Nauborn. Vgl. Taf. 16 Fig. 6.	
Fig. 14.	<i>Phacops breviceps</i> BARR. . . . .	S. 18
	Grube Christiane bei Giershagen.	
Fig. 15.	<i>Cheirurus Sternbergi</i> BOKH, mut. <i>myops</i> ROEM. . . . .	S. 22
	Eisenstein des Büchenberges bei Elbingerode. Vgl. Taf. 1 Fig. 2—4, Taf. 2 Fig. 15, 16, Taf. 3 Fig. 1—10.	
Fig. 16.	<i>Strophomena interstitialis</i> PHILL. var. . . . .	S. 295
	Grube Juno bei Nauborn.	
Fig. 17, 18.	<i>Cardiola Bruckhauseni</i> n. sp. . . . .	S. 227
	Grube Hubertus bei Leitmar. Vgl. auch Taf. 11 Fig. 12, Taf. 16 Fig. 10.	
Fig. 19.	<i>Holopella piligera</i> SANDB. var. . . . .	S. 194
	(Wahrscheinlich eine neue Art.) Graue Kalke des Martenberges.	
Fig. 20.	<i>Hexacrinus intercapularis</i> PHILL. . . . .	S. 302
	Eisenstein des Martenberges.	
Fig. 21.	<i>Hexacrinus granulosus</i> F. ROEM. . . . .	S. 301
	Graue Massenkalk des Fretterthales.	
Fig. 22.	<i>Rhynchonella implexa</i> SOW. . . . .	S. 273
	Grube Juno bei Nauborn.	
Fig. 23.	<i>Amphigenia Heyrichi</i> n. sp. . . . .	S. 292
	Graue Massenkalk des Fretterthales. Vgl. auch Taf. 17 Fig. 3 und Textfigur 12, S. 292.	

Das Original zu Fig. 14 befindet sich in der Sammlung des naturhistorischen Vereins in Bonn, zu Fig. 19 in der Göttinger, zu Fig. 20 in der MÖLLER'schen Sammlung und zu Fig. 21 in der Sammlung der geologischen Landesanstalt in Berlin.

E.Holzzapfel. Die Fauna der Schichten mit *Maenoceras terebratum* Sandb.

Abhandl. d. Kgl. Preuss. geol. Landesanstalt. Neue Folge, Heft XVI

Taf. III



W. Putz. del.

Druck v. P. Kaplan & Co., Berlin.

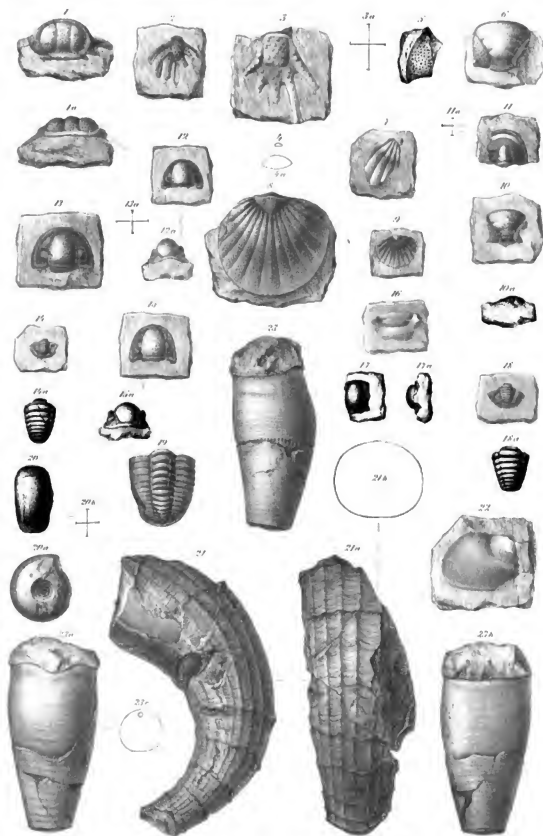
# Tafel XIII.

Fig. 1—4.	<i>Lichas aranea</i> n. sp. . . . .	S. 32
	Fig. 4 Querschnitt eines Schwanzanhanges. Vgl. Taf. 3 Fig. 11.	
Fig. 5—10.	<i>Bronteus granulatus</i> GOLDF. . . . .	S. 13
	Vgl. auch Taf. 16 Fig. 18.	
Fig. 11.	<i>Proetus</i> cf. <i>Atgonax</i> BARR. . . . .	S. 40
Fig. 12—14.	„ <i>suborbitatus</i> n. sp. . . . .	S. 38
Fig. 15.	„ <i>Cuvieri</i> STERN. . . . .	S. 39
	Obere Calceola-Schichten von Gerolstein.	
Fig. 16.	<i>Lichas aranea</i> n. sp. . . . .	S. 32
	Hypostom. Vgl. Fig. 1—4 und Taf. 3 Fig. 11.	
Fig. 17.	<i>Proetus</i> sp. aff. <i>suborbitatus</i> n. sp. . . . .	S. 38
Fig. 18, 19.	„ <i>suborbitatus</i> n. sp. . . . .	S. 38
Fig. 20.	<i>Marnecceras terebratum</i> SANDB. sp. . . . .	S. 107
	Junges, vergrössertes Exemplar. Vgl. Taf. 4 Fig. 14, 18, Taf. 6 Fig. 6, 7, 9.	
Fig. 21.	<i>Kophinoceras acutecostatum</i> SANDB. sp. . . . .	S. 129
	Vgl. Taf. 8 Fig. 1, 3.	
Fig. 22.	<i>Aristozor</i> sp. . . . .	S. 48
Fig. 23.	<i>Poterioceras obseum</i> n. sp. . . . .	S. 147
Sämmtliche Stücke, mit Ausnahme von Fig. 15, stammen aus den grauen Massenkalken des Fretterthales.		

E. Holzapfel. Die Fauna der Schichten mit *Maeneceras lerebraium* Sandb.

Abhandl. d. Kgl. Preuss. geol. Landesanstalt. Neue Folge, Heft XVI

Taf. XII

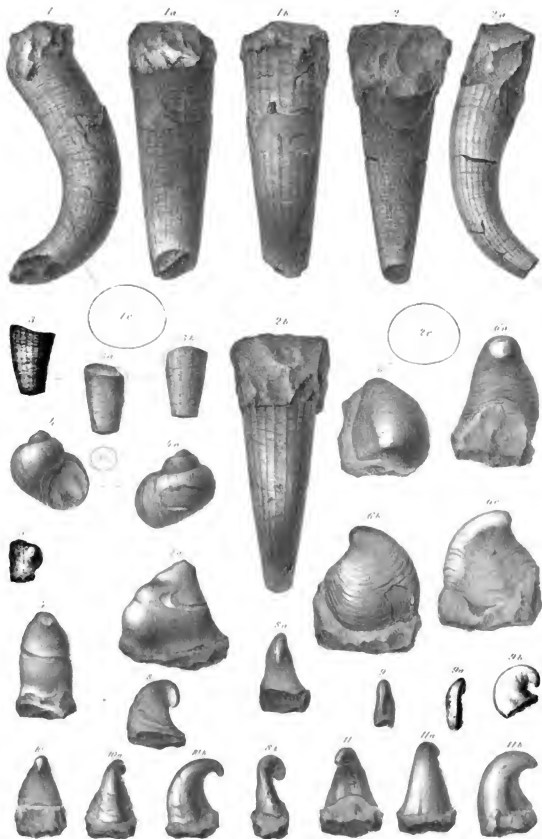


# Tafel XIV.

Fig. 1.	<i>Koplinoceras scythiacum</i> n. sp. . . . .	S. 133
Fig. 2.	„ <i>Frechi</i> n. sp. . . . .	S. 134
Fig. 3.	„ <i>quindecimale</i> PHILL? . . . . .	S. 134
	Vgl. Taf. 9 Fig. 7.	
Fig. 4, 5.	<i>Turbonitella piligera</i> SANDB. . . . .	S. 197
	Fig. 5 isolirter Deckel.	
Fig. 6, 7.	<i>Platyceras colonus</i> n. sp. . . . .	S. 179
	Fig. 7 Steinkern mit Muskeleindruck. Vgl. Textfigur 9, S. 179.	
Fig. 8—10.	<i>Platyceras compressum</i> ROEM. sp. . . . .	S. 176
	Hakig gekrümmte Formen. Vgl. Taf. 11 Fig. 5, 6, 9, Taf. 15 Fig. 1—3.	

Sämmtliche Stücke stammen aus den grauen Massenkalken des Fretterthales.

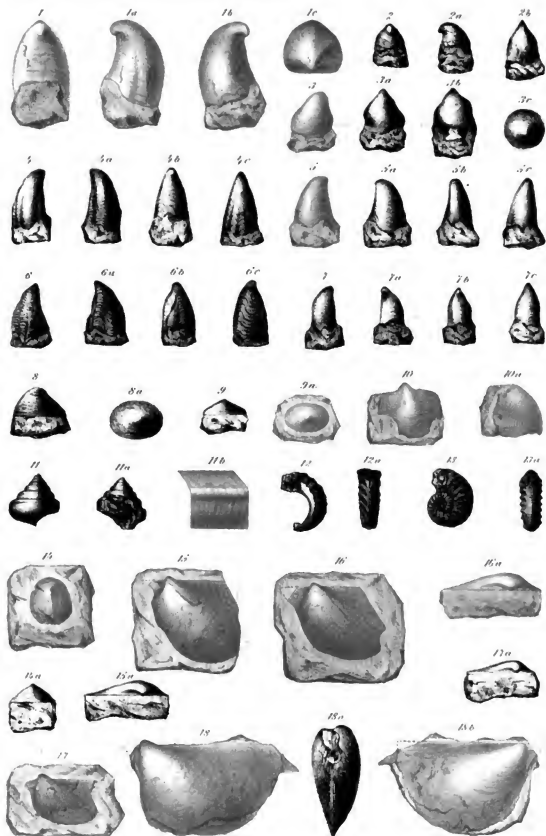




# Tafel XV.

Fig. 1—3.	<i>Platyceras compressum</i> ROMM. sp. . . . .	S. 176
	Schwach gebogene, bauchige Formen. Vgl. Taf. 11 Fig. 5, 6, 9, Taf. 14 Fig. 8—11.	
Fig. 4—7.	<i>Platyceras conoileum</i> GOLDF. sp. . . . .	S. 174
Fig. 8, 9.	„ <i>patelliforme</i> D. sp. . . . .	S. 180
Fig. 10.	<i>Helminthochiton</i> sp. . . . .	S. 211
Fig. 11.	<i>Neurotomaria Champenouvi</i> WHIDB. . . . .	S. 200
Fig. 12, 13.	<i>Porcellia cornu-arietis</i> SANDB. . . . .	S. 210
Fig. 14.	<i>Helminthochiton corrugatus</i> SANDB. sp. . . . .	S. 211
Fig. 15, 16.	<i>Avicula placida</i> WHIDB. . . . .	S. 217
Fig. 17.	„ <i>clathrata</i> SANDB. . . . .	S. 217
Fig. 18.	„ <i>dilatata</i> WHIDB. . . . .	S. 218

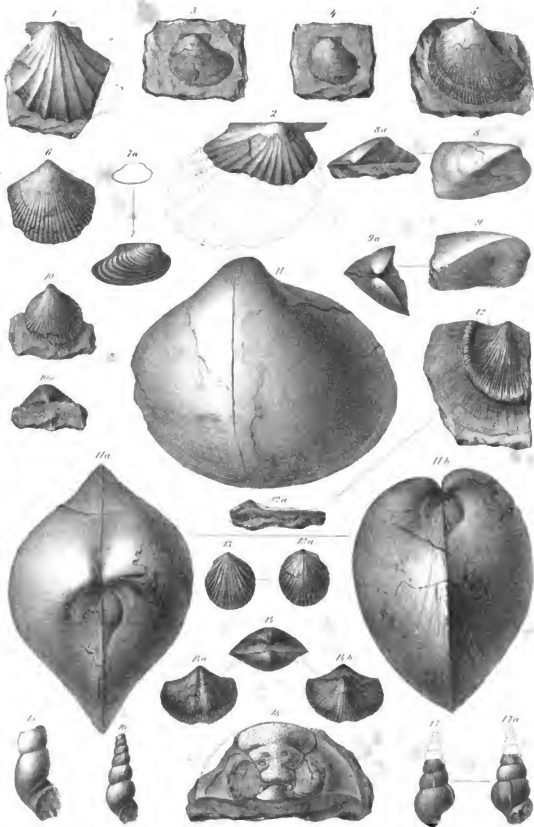
Das Original zu Fig. 6 stammt aus den Crinoiden-Schichten von Gerolstein, zu Fig. 13 aus den mergeligen Stringocephalenkalken der Grube Breiniger Berg bei Stolberg, die übrigen aus den Massenkalken des Fretterthales.



# Tafel XVI.

Fig. 1, 2.	<i>Aviculopecten lobatus</i> n. sp. . . . .	S. 215
	Vgl. auch Textfigur 12, S. 215. Das hintere Ohr der linken Klappe in Fig. 1 ist unvollständig.	
Fig. 3, 4.	<i>Aviculopecten aviformis</i> WIMDB. . . . .	S. 214
Fig. 5.	„ <i>aculeatus</i> GOLDF. sp. . . . .	S. 214
Fig. 6.	„ <i>Oceani</i> GOLDF. sp. . . . .	S. 218
	Vgl. auch Taf. 12 Fig. 13.	
Fig. 7.	<i>Cypricardinia Sandbergeri</i> BEUSH. . . . .	S. 224
Fig. 8.	<i>Cardiomorpha alata</i> SANDB. . . . .	S. 226
Fig. 9.	<i>Goniophora acuta</i> SANDB. sp. . . . .	S. 225
Fig. 10.	<i>Cardiola Beushauseni</i> n. sp. . . . .	S. 227
	Vgl. auch Taf. 12 Fig. 17, 18, Taf. 11 Fig. 12.	
Fig. 11.	<i>Edmondia gigas</i> n. sp. . . . .	S. 226
Fig. 12.	<i>Atrypa signifera</i> SCHNUR . . . . .	S. 264
Fig. 13.	„ sp. n. aff. <i>A. arimaspus</i> ECHW. . . . .	S. 268
Fig. 14.	<i>Spirifer aperturatus</i> v. SCHLOTH. . . . .	S. 249
Fig. 15, 16.	<i>Holopelta Sandbergeri</i> n. sp. . . . .	S. 194
Fig. 17.	„ <i>varicosa</i> n. sp. . . . .	S. 192
Fig. 18.	<i>Bronteus granulatus</i> GOLDF. . . . .	S. 18
	Vgl. auch Taf. 13 Fig. 5—10.	

Sämmtliche Originale stammen aus den grauen Massenkalken des Fretterthales.



# Tafel XVII.

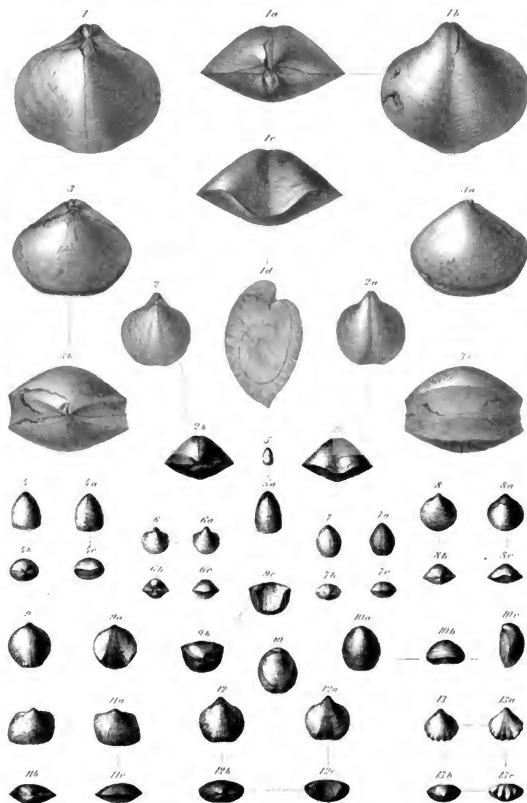
- Fig. 1, 2. *Spirifer Maureri* n. sp. . . . . S. 256  
 Im Text ist diese Art stets als *Sp. Gossileti* n. sp. aufgeführt. Dieser Name  
 ist, da nicht mehr frei, in *Sp. Maureri* umzuändern. Vgl. S. 444.
- Fig. 3. *Amphigenia Beyrichi* n. sp. . . . . S. 292  
 Vgl. auch Taf. 12 Fig. 23 und Textfigur 14, S. 292.
- Fig. 4, 5. *Murieta laeyma* Sow. sp. . . . . S. 245  
 Der Stirnrand ist in beiden Figuren etwas zu geradlinig gezeichnet.
- Fig. 6. *Spirifer inflatus* SCHNUR . . . . . S. 253  
 Vgl. auch Taf. 11 Fig. 20.
- Fig. 7. *Centronella cirgo* PHILL. . . . . S. 241
- Fig. 8. *Pentamerus acutolobatus* SANDR. . . . . S. 285  
 Vgl. auch Taf. 18 Fig. 4, 11—18.
- Fig. 9. *Rhynchonella* sp. n. . . . . S. 281
- Fig. 10. *Dielasma juvenis* Sow. . . . . S. 239  
 Vgl. auch Taf. 18 Fig. 1, 2.
- Fig. 11. *Oethia rhombica* n. sp. . . . . S. 294
- Fig. 12. *Rhynchonella erenulata* Sow. var. . . . . S. 275  
 Diese Figur ist im Text auf Seite 270 irrtümlich als *Rh. subcordiformis*  
 bezeichnet, sie gehört aber zu *Rh. erenulata* Sow. Vgl. auch Taf. 18 Fig. 8.
- Fig. 13. *Canarophoria brachypyga* SCHNUR sp. . . . . S. 282

Sämtliche Originale stammen aus den Massenkalken des Fretterthales.

E. Holzapfel. Die Fauna der Schichten mit *Maeneceras terebratum*. Sandb.

Abhandl. d. Kgl. Preuss. geol. Landesanstalt. Neue Folge, Heft XVI.

Taf. 67

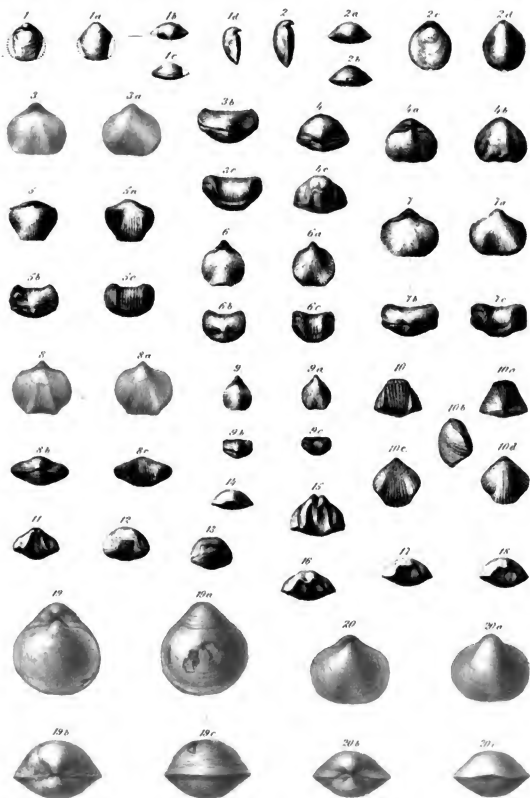


# Tafel XVIII.

Fig. 1, 2.	<i>Dielasma juvenis</i> Sow. sp. . . . .	S. 239
	Vgl. auch Taf. 17 Fig. 10.	
Fig. 3.	<i>Rhynchonella subcordiformis</i> SCHNUR . . . . .	S. 270
Fig. 4.	<i>Pentamerus acutolobatus</i> SANDB. . . . .	S. 285
	Junges Exemplar.	
Fig. 5.	<i>Rhynchonella precuboides</i> KAYS. . . . .	S. 277
	Die Fig. 5—5b sind vom Zeichner nicht richtig gestellt.	
Fig. 6, 7.	<i>Rhynchonella subcordiformis</i> SCHNUR . . . . .	S. 270
Fig. 8.	„ <i>crenulata</i> Sow. sp. . . . .	S. 275
	Vgl. auch Taf. 17 Fig. 12.	
Fig. 9.	<i>Rhynchonella subcordiformis</i> SCHNUR . . . . .	S. 270
	Junges, schmales Exemplar.	
Fig. 10.	<i>Rhynchonella ascendens</i> STEINIG. . . . .	S. 279
Fig. 11—18.	<i>Pentamerus acutolobatus</i> SANDB. . . . .	S. 285
	8 Exemplare gegen die Stirn gesehen, um die Veränderlichkeit in der Aufbiegung derselben zu zeigen. Vgl. auch Taf. 17 Fig. 8.	
Fig. 19, 20.	<i>Pentamerus globus</i> SCHNUR . . . . .	S. 287

Sämmtliche Originale stammen aus den Massenkalken des Fretterthales.

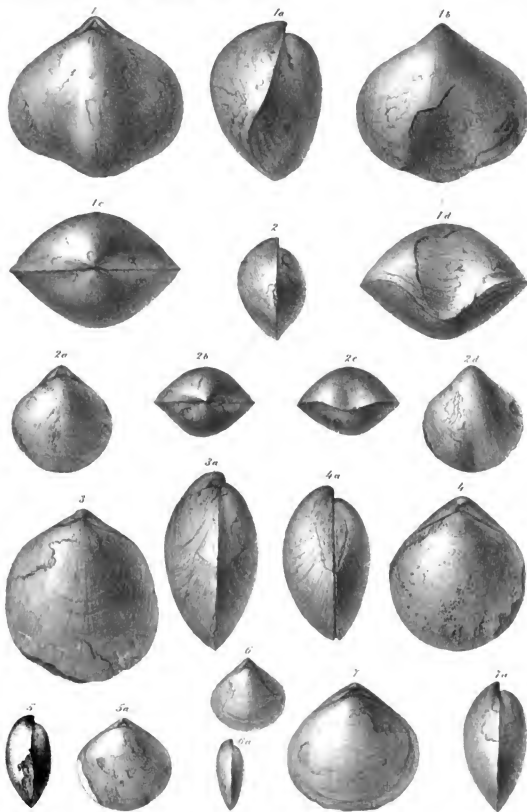




# Tafel XIX.

Fig. 1, 2. <i>Chascothyris Barroisi</i> nov. gen. nov. sp. . . . .	S. 236
Vgl. Textfigur 13 S. 235.	
Fig. 3, 4. <i>Meganteris Damezi</i> n. sp. . . . .	S. 233
Fig. 5. <i>Terrebratula Newtoniensis</i> Dav. . . . .	S. 240
Fig. 6, 7. <i>Chascothyris Tschernyschewi</i> nov. gen. nov. sp. . . . .	S. 237

Sämmtliche Stücke stammen aus den Massenkalken des Fretterthales.











*image  
not  
available*